

高等学校教学用书

航空摄影测量学教程

(高等学校工程测量、天文大地测量、测量制图专业适用)

武汉测绘学院航空摄影测量教研组编



中国工业出版社

本书是在党的领导下，通过教育革命，由航空摄影测量教研组集体编写而成。

本书叙述了航空摄影测量的理论和生产实践的基本问题，以及实际作业中所应用到的各种仪器和方法。其中关于航空摄影、航测外业等仅作简单的介绍，此外还叙述了地面立体摄影测量。并且还概略地介绍了应用物理方法测定外方位元素的基本原理和方法，航空无线电水准测量，雷达航测等。

本书可供高等学校工程测量专业，天文大地测量专业，测量制图专业的教材之用，也可作为其他院校有关专业以及摄影测量工作人员的参考资料。

航空摄影测量学教程

武汉测绘学院航空摄影测量教研组编

(根据测绘出版社纸型重印)

*

国家测绘总局测绘书刊编辑部编辑 (北京三里河国家测绘总局)

中国工业出版社出版(北京佟麟阁路丙10号)

(北京市书刊出版事业许可证字第110号)

中国工业出版社第四印刷厂印刷

新华书店北京发行所发行，各地新华书店经售

*

开本787×1092¹/16·印张13¹/4·插页3·字数278,000

1960年10月北京第一版

1962年9月北京新一版，1962年9月北京第一次印刷

印数0001—793·定价(10·5)1.75元

*

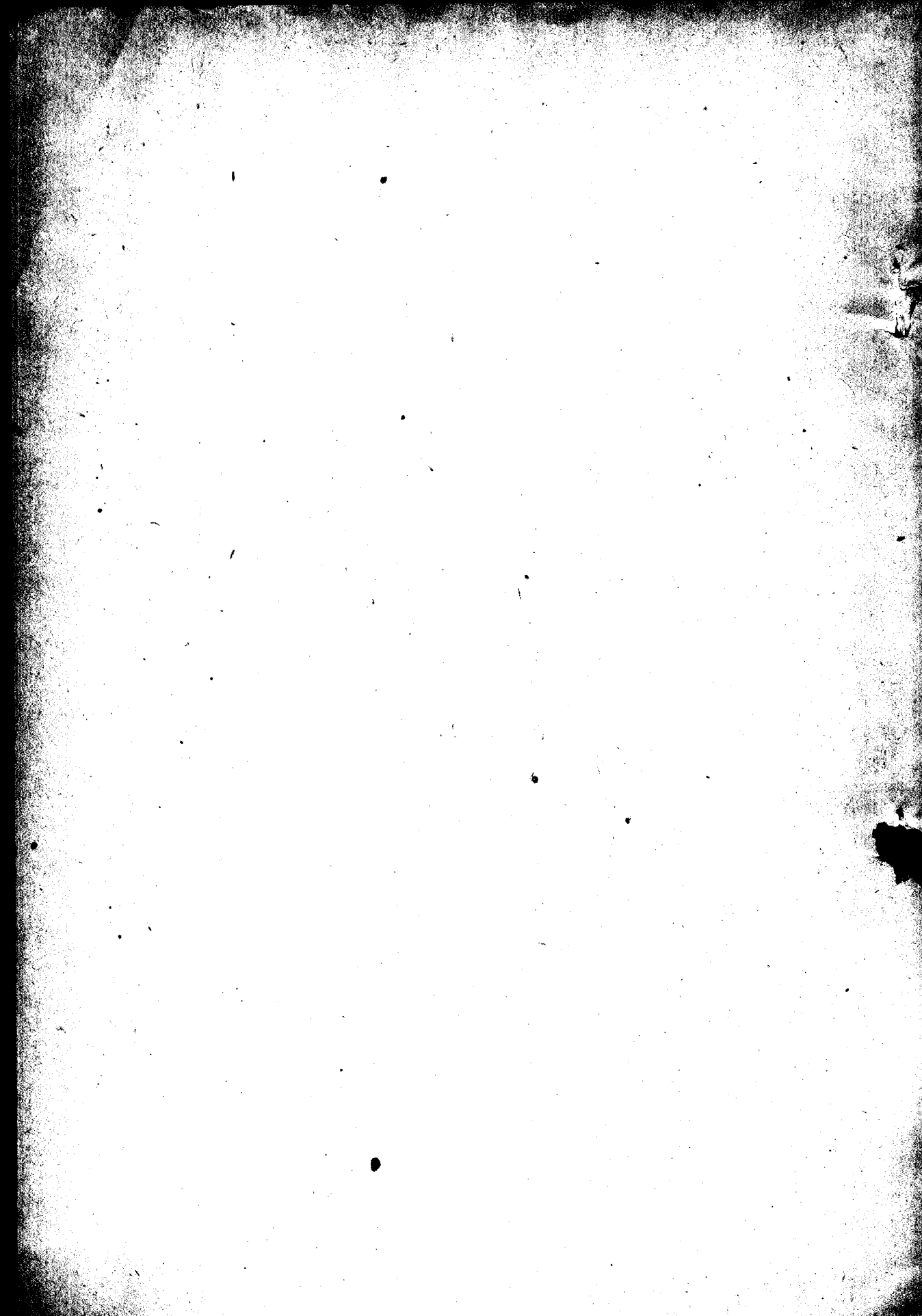
统一书号：K 15163·1741(测绘-29)

目 录

第一章 緒論	7
§ 1-1 摄影測量的任务与分类	7
§ 1-2 航空摄影測量的發	8
第二章 航空摄影過程	9
§ 2-1 摄影物鏡	9
§ 2-2 摄影机与航空摄影	13
§ 2-3 航空摄影的种类及航空摄影過程	14
§ 2-4 摄影材料及其攝影性能	19
§ 2-5 摄影處理	20
§ 2-6 航空摄影質量的評定	22
第三章 像片解析.....	25
§ 3-1 航攝像片為中心投影	25
§ 3-2 航攝像片上主要的点和線	26
§ 3-3 合点	28
§ 3-4 內方位元素与外方位元素	29
§ 3-5 航攝像片和地面上相应点間的坐标关系	31
§ 3-6 航攝像片的比例尺	33
§ 3-7 由于航攝像片傾斜角影响所产生的像点移位	36
§ 3-8 由于地形起伏影响所产生的像点移位	38
§ 3-9 由于航攝像片傾斜角影响所产生方向偏差	39
§ 3-10 由于地形起伏影响所产生方向偏差	43
§ 3-11 由于像片傾斜角影响所产生的面积变形	46
第四章 圖解輻射三角測量	48
§ 4-1 輻射三角測量的概念	48
§ 4-2 輻射中心的选择及主方向線的划引	49
§ 4-3 扩展圖解輻射三角測量單航線菱形鎖	50
§ 4-4 圖解輻射三角測量單航線菱形鎖比例尺的縮放	53
§ 4-5 網的調整和圖底的整飾	57
§ 4-6 圖解輻射三角測量單航線菱形鎖的精度	57
第五章 航攝像片的糾正和像片平面圖的編制.....	59
§ 5-1 像片糾正的一般概念	59
§ 5-2 纠正的几何条件	60
§ 5-3 纠正仪的光学条件	63
§ 5-4 几何条件和光学条件的結合	64

§ 5-5 大型糾正仪	66
§ 5-6 大型糾正仪上滿足光距条件的直角控制器	68
§ 5-7 大型糾正仪上滿足交線条件的直尺控制器	69
§ 5-8 小型糾正仪	70
§ 5-9 在糾正仪上糾正像片	72
§ 5-10 糾正資料的准备	72
§ 5-11 根据糾正点糾正的技术	74
§ 5-12 像片平面圖的編制	77
§ 5-13 像片草圖	79
§ 5-14 分帶糾正	80
第六章 航攝像片的判讀調繪	84
§ 6-1 概述	84
§ 6-2 判讀標誌	85
§ 6-3 主要地物目標的判讀	86
§ 6-4 判讀調繪的技术	88
第七章 像片聯測	92
§ 7-1 概述	92
§ 7-2 平面聯測控制點的分佈	92
§ 7-3 平面控制點的測量工作	95
§ 7-4 高程控制點的測量工作	100
第八章 航測綜合法外業	102
§ 8-1 概述	102
§ 8-2 像片平面圖測圖	104
§ 8-3 單張像片測圖	106
第九章 立體觀察及量測	110
§ 9-1 單眼視覺與立體視覺	110
§ 9-2 立體效應及立體鏡	112
§ 9-3 立體觀察的方法	114
§ 9-4 立體量測的方法	115
第十章 立體攝影測量的基礎	117
§ 10-1 立體攝影測量的概念	117
§ 10-2 立體像對的相對定向元素和大地定向元素	121
§ 10-3 理想像片對的高差公式	122
§ 10-4 橫直攝影像片與正直攝影像片相應像點間的坐標關係公式	123
§ 10-5 航高變化時相應點間的坐標關係公式	126
§ 10-6 外方位元素對左右視差較的影響	128
§ 10-7 立體模型的分析	129
第十一章 航測全能法	132
§ 11-1 概述	132

§ 11-2	多倍投影仪（多倍仪）	188
§ 11-3	相对定向	185
§ 11-4	大地定向	189
§ 11-5	在多倍仪上编制地形原图	142
§ 11-6	变换光束测图的概述及在多倍仪上用变换光束进行作业的方法	143
§ 11-7	其他类型的全能仪器	145
第十二章	相对定向元素的测定	148
§ 12-1	上下视差与相对定向元素之间的关系	148
§ 12-2	测定相对定向元素的选点条件	149
§ 12-3	立体坐标仪的结构，上下视差及左右视差的量测	151
第十三章	航测分工法	155
§ 13-1	分工法测图概述	155
§ 13-2	立体量测仪СТД-2的结构及其结构原理	155
§ 13-3	在立体量测仪上的像片定向	162
§ 13-4	地形描绘及原图编制	166
§ 13-5	摄影航高和基线的测定	169
第十四章	控制点加密	171
§ 14-1	概述	171
§ 14-2	在多倍仪上进行空中三角测量	171
§ 14-3	苏联中央测绘科学研究所法(ЦНИИГАИК 法)	176
§ 14-4	无扭曲模型法	182
§ 14-5	像片导线测量	184
§ 14-6	直线法概述	187
§ 14-7	空中三角测量的精度	188
第十五章	应用物理方法测定外方位元素	193
§ 15-1	概述	193
§ 15-2	应用测微高差仪测定航高差	193
§ 15-3	应用无线电测高仪测定航高	196
§ 15-4	航空无线电水准测量	199
§ 15-5	雷达航测概述	201
第十六章	地面立体摄影测量	204
§ 16-1	概述	204
§ 16-2	地面立体摄影测量的摄影方式和坐标关系公式	204
§ 16-3	地面立体摄影测量的外业装备——摄影经纬仪	207
§ 16-4	地面立体摄影测量基线长度的确定	208
§ 16-5	地面立体摄影测量的外业工作	209
§ 16-6	地面立体摄影测量的内业工作	210
§ 16-7	地面立体摄影测量的应用	215



第一章 緒論

§ 1-1 摄影測量的任务与分类

航空摄影測量简称航測，它是这样的一門科学：应用从飞机上攝得的地表面象片为基础进行分析和量測，从而确定地面上地物的形狀、大小和空間的位置，亦即測繪出地形圖來。

由于象片能够眞实而詳尽地記錄出攝影瞬間的客觀物体，因此依据象片进行量測的科学——摄影測量学除用以測制地形圖外，还有多方面的应用，例如工程建筑物的查勘，波浪的測量，彈道和炮彈速度的测定，医学上利用X光摄影对人体內部的研究量測，以及軍事偵察等。本書以叙述摄影測量在測制地形圖方面的应用为限。

地表面的象片可从地面或者从空中攝得，因而根据摄影方式的不同，地形摄影測量学又可分为地面摄影測量学和航空摄影測量学。由于航空摄影測量能使大部分外業变为室內工作而减少地区的气候和自然地理条件的影响，并且能使測圖業務大量分工，趋于自动化，机械化，因此航空摄影測量具有显著的优越性，而成为我国測制1:2000—1:100,000 各种比例尺地形圖的主要方法；至于地面摄影測量系根据在地面上攝得的像片来測圖，虽則也具有上面所述的优越性，但由于它每張象片包括的面積較小，受着地面遮蔽的限制，且成圖的精度不够均匀，所以应用范围远不及航空摄影測量，目前这种方法在工程測量中应用較广，在高山地区測圖时，可能發揮它一定的輔助作用。

航空摄影測量由于各种具体的測圖要求和測圖条件的不同，可以采取以下三种主要的成圖方法：

1) 航測綜合法

这种方法是摄影測量与地形測量相結合的一种方法，适用于平坦地区和小丘陵地区的測圖。采用綜合法时，航攝象片主要是用来測求地物的平面位置，因此可以在室內进行地物測量，而等高線就必須在已經求得地物平面位置的基础上在野外用平板仪进行測繪。

2) 航測分工法（微分法）

这种方法最适用于丘陵地区，它基本上是在室內利用航攝象片完成測圖工作，但是把內業过程分成平面部份和高程部份兩個步驟，平面部份的測繪和航測綜合法中的相同，而高程部份則系采用立体量測方法，这样就可以利用比較簡單的仪器，集中多数人力分工进行測繪。

3) 航測全能法

这种方法最适用于山区或高山区，它的特点在于利用全能型的立体测图仪在同一个内业过程中把航摄象片测制成为地形图。

§ 1-2 航空摄影测量的发展简史

摄影测量这门科学在世界上也是非常年青的，在十九世纪四十年代世界上发明了摄影技术，到五十年代初，就被科学家们应用在工程建筑物查勘和地形测图方面，到第一次世界大战（1914年）之前，在这一阶段的成就主要有以下几方面：1) 提高摄影技术；制成了感光度较高的干板；2) 创造测图的方法，应用了立体观察和立体量测，建立了比较完整的地面摄影测量的理论和测图方法；3) 仪器制造方面：创造了测微高差仪，立体坐标仪和立体自动测图仪。这些方法和仪器的基本原理很宝贵，至今还在应用，其中自动立体测图仪的创造思想为摄影测量工作趋向机械化，自动化开辟了新的途径。

一八八二年俄国工程师莫柴斯基创造了世界上第一架飞机，这就为航空摄影开辟了广闊的道路。

第一次世界大战后，伟大的革命导师列宁于1919年3月15日签署成立了苏联最高国民经济委员会高等测量局的指令。沿着列宁指出的道路，紧密结合社会主义和共产主义建设，苏联学者们创造了特有的航测仪器，测图方法以及完整而精湛的理论，在航测学术方面跃居为世界第一。苏联科学家最突出的贡献有以下几方面：1) 首先制成了世界上宽角和特宽角的航空摄影机，而特宽角摄影机的设计制造比资本主义国家早了十年；2) 创立了完整的分工法的理论，仪器和测图方法；3) 创立了空中三角测量的全套理论与作业方法；4) 创立了应用变换光束原理而制成新颖的精密的全能仪器；5) 把最新的无线电技术应用到航测方面。苏联杰出的航测专家如：维克托洛夫、德洛贝雪夫、康辛、露西诺夫和谢苗诺夫等，由于他们的创造对社会主义建设有巨大的贡献都荣获了斯大林奖金。

一九四九年新中国成立以后，在苏联真诚无私的帮助下，我国迅速的展开了大规模的航测业务和航测科学的研究，并取得了巨大的成绩。

第二章 航空摄影过程

S 2-1 摄影物镜

摄影物镜是一种复杂的光学系统，借此在感光材料上构成物体的影像，其质量取决于组成物镜的单透镜和诸透镜的组合情况。

由物理学已知，任何透镜都是有光学缺点的，亦即所谓像差，其中球面像差、彗形像差、色像差和像场弯曲只是引起像的不清晰；而畸变差则将引起图形的变形，破坏了几何相似性。如图 2-1 所示，原来的正方形，由于光圈的位置不同，经透镜成像后则变成鼓形或是枕形，这种像差对摄影测量的精度影响较大。

要完全消除所有像差是不可能的，只能力求使其降低到实际上可以忽略的数值。为了消除像差，得用若干个不同曲率半径和化学成分的凸透镜和凹透镜组合成一个对称式物镜，称之为复式物镜，并且将光圈放置在对称式物镜的中央，如图 2-2。

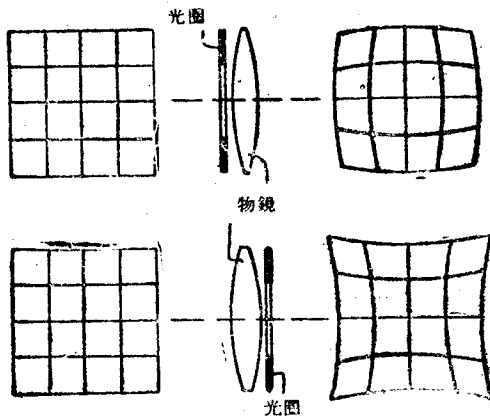


圖 2-1 畸变差

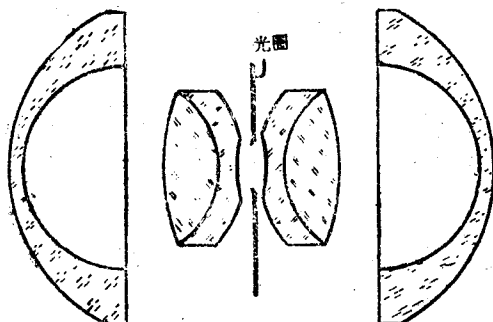


圖 2-2 露沙尔-29型 ($2\beta=122^\circ, f=70\text{mm}$)

现在把物镜的一些特征和它的重要附件分述如下。

(1) 物镜的焦距

组成复式物镜必须使各个单透镜光学中心位于同一直线上，这条直线就称为主光轴。所有平行于主光轴的光线通过物镜都应相交于主光轴的一点，称为主焦点。主焦点有两个，一个称前方（物方）主焦点，用 F_1 表示；另一个为后方（像方）主焦点，用 F_2 表示（图 2-3）。为了说明物镜成像的原理，可以用两个垂直于主光轴的主平面 (H_1, H_2) 和两个主焦点 (F_1, F_2) 来代替复式物镜。这两个主平面称为前方主平面 H_1 和

后方主平面 H_2 。在空气介质中主光轴交于主平面 H_1 和 H_2 的交点称为前方节点 S_1 和后方节点 S_2 。从节点 S 到主焦点 F 的距离称为物镜的焦距，用 f 表示，如图 2-3：

$$f = S_1 F_1 = S_2 F_2$$

航空摄影所用的物镜，根据焦距的长短可分为三类：

短焦距
中等焦距
长焦距

150 毫米以下

160-250 毫米

300 毫米以上

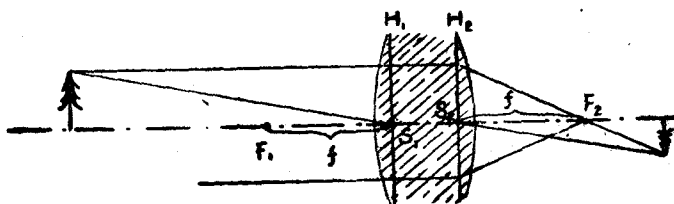


圖 2-3

(2) 物鏡的像角

通过物鏡的圓錐形光束在焦面上所限定的面积称为視場。視場範圍內的影像中央清晰而边缘模糊，包括影像清晰部分的圆形面积称为像場。由物鏡后方节点 S_2 与像場直徑端点 a, b （图 2-4）的联線所形成的角度 2β 称为像場角。通常像場总是小于視場，但在構造良好的物鏡，像場非常接近于視場。

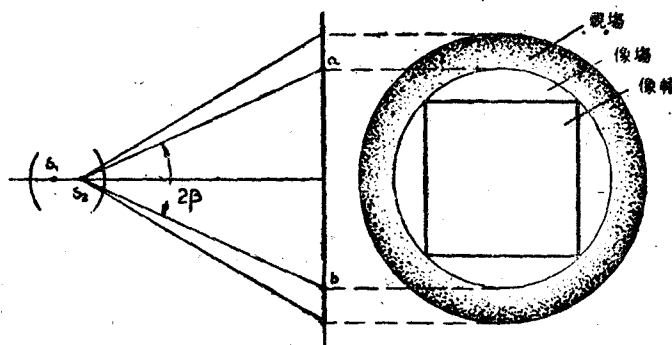


圖 2-4

实际上底片呈正方形（或矩形），称为像幅，航空摄影的像幅常为， 18×18 厘米。

航空摄影的物镜根据像场角可以分成四类：

特宽角
宽角
常角
窄角

110° 以上
 $75^\circ - 110^\circ$
 $45^\circ - 70^\circ$
 45° 以下

(3) 光圈与相对孔徑

通过物鏡边缘部分的光线，构成影像时将会产生比中央部分較大的变形。为了遮掉

边缘光线和调节通过的光量，可以利用不同的光圈。

现代常用的光圈是虹形光圈，图 2-5，这种光圈是由若干片镰刀形的黑色金属薄片组成，这些薄片彼此局部地重叠在一起，而其内边缘几乎构成一个以物镜主光轴为圆心的圆孔，基部固定在物镜框上，当转动物镜框上的专用圈时，所有的薄片所构成的圆就依圆心扩大或缩小，改变其光孔。

射入物镜并通过光圈的入射光束的直径，称为有效孔径，用 d 表示。物镜有效孔径 d 与其焦距 f 之比称为物镜的相对孔径，用 $(\frac{d}{f})$ 表示。

例如物镜有效孔径 $d=22.2$ 毫米，物镜的焦距 $f=100$ 毫米，

则相对孔径为

$$\frac{d}{f} = \frac{22.2}{100} = \frac{1}{4.5}$$

相对孔径标志在每一个摄影机的物镜框上，以 1:4.5 或 $F/4.5$ 等形式来表示。

航空摄影中常用的光圈有 4.5, 6.3, 9.0 和 12.5 等。

(4) 物镜的分解力

物镜的分解力表示物镜摄取细微碎部的能力，以一毫米内物镜所能分解的线条的数目计算，它可以用玻璃制成的称为量线板的线划表。

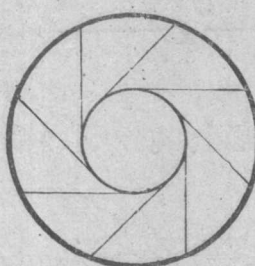


图 2-5

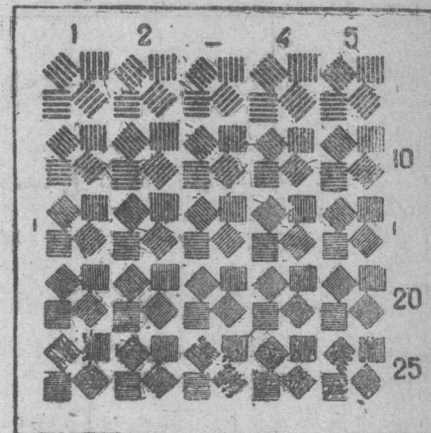


图 2-6

按摄影方法进行测定。量线板的结构有很多种，通常采用的如图 2-6 所示。

(5) 物镜的景深

由光学公式 $\frac{1}{L} + \frac{1}{l} = \frac{1}{f}$ (或 $l = \frac{L \times f}{L-f}$) 得知，当物距 L 变化时，像距 l 也随之变化。设物体在 C 点时，构像在 P 平面上 (图 2-7)，当物体由 C 移至 B 点，它的构像应该在 b 点，这时，在 P 平面上就形成一个模糊圈 nm 。当物体移至 A 点时，在 P 平面上也形成一个模糊圈 nm 。用 δ 表示模糊圈 nm 的直径，通常当 $\delta < 0.1$ 毫米时，则可认为影像仍属清晰，此时 AB 之间的距离便称为物镜的景深 (图 2-8)。

按 $l = \frac{Lf}{L-f}$ 微分得 $dl = \frac{-f^2 dL}{(L-f)^2}$

即：

$$dL = -\frac{dl(L-f)^2}{f^2} \quad (a)$$

由图 2-8 的相似三角形 MNb 和 mnb 得：

$$dl = 2l \frac{\delta}{d} \quad (b)$$

將(b)式代入(a)式，把 δ 以0.1毫米代入，并且假設在普通攝影情況下 l 大約等於 f ，則得：

$$dL = -\frac{0.2L^2}{f^2 \left(\frac{d}{f}\right)} \quad (2-1)$$

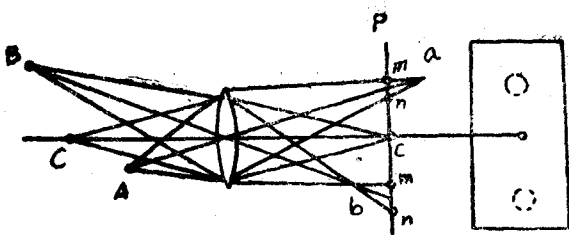


圖 2-7

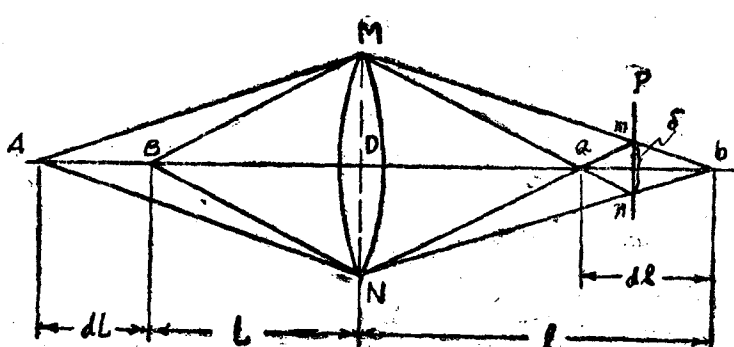


圖 2-8

由式(2-1)得出結論，景深依焦距，物距和物鏡relative孔徑的大小為轉移，焦距愈小，物距愈大和relative孔徑愈小，則景深愈大。

航空攝影通常在几百米或几千米的高空進行，按 $l = \frac{f}{1 - \frac{f}{L}}$ 可知，在這種情況下，像距几乎不變，而且接近等於 f 。

(6)攝影機的快門：

用以自動控制曝光時間的機件，稱為快門。中心式快門是最常用的一種，通常裝置

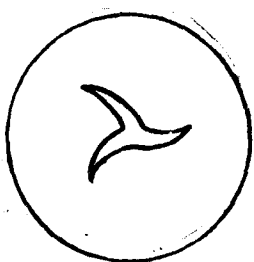
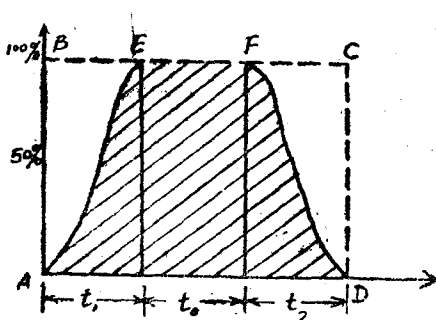


圖 2-9 中心式快門



曝光時間 $t = t_1 + t_0 + t_2$

圖 2-10

在复式物鏡的中間，由 2-5 片 金屬 片 組成（圖 2-9），使用时按动控制器即可自动开合。

圖 2-10 表示中心式快門的工作情形，横坐标軸代表时间，縱坐标軸代表透过光綫的相对数量。矩形 $ABCD$ 是瞬息啓閉的理想情况，实际上透光量在时间 t_1 和 t_2 段 不足 100%。圖形 $AEGFD$ 与 $ABCD$ 的面积之比 K_s ，叫做快門的透光效率

$$K_s = \frac{\square AEGFD}{\square ABCD}。现代中心快門的透光效率可达 60\%-80\%。$$

§ 2-2 攝影机与航空攝影机

用以摄影的仪器——获取摄影影像的工具称为摄影机，其种类繁多，一般常见的有照像館用的帶脚架的摄影机和各种手携的摄影机。

圖 2-11，a 和 b（圖 2-11，b 見本書第 216 頁）所示为双物鏡摄影机，两个物鏡具有同一的焦距和像場，下面的物鏡用于摄影，而上面的物鏡則用于自动对距，当毛玻璃上的影像清晰时，则在底片上的構像也必然清楚。

在摄影測量过程中的复照仪，用于复制像片，像片平面圖和地圖，其尺寸較大，通常裝置在室內固定的坐架上（圖 2-12），用弧光灯照亮圖片，进行复照。

航空摄影机是用于航空摄影測量的特种摄影机（圖 2-13，b 圖見本書第 216 頁）。当高空摄影时，物鏡对光在無穷远处而获得清晰的構像，因此从物鏡后方节点到底片面的距离为一个固定不变的数值，称为航空摄影机的鏡箱焦距，或称主距，用 f_k 表示（有时也用 f 表示），主距与摄影物鏡的焦距相差一个微小的数值。

航空摄影机采用中心快門。从快速移动的飞机上进行航空摄影只容許瞬间露光，通常采用 $1/100$ — $1/200$ 秒的曝光时间。

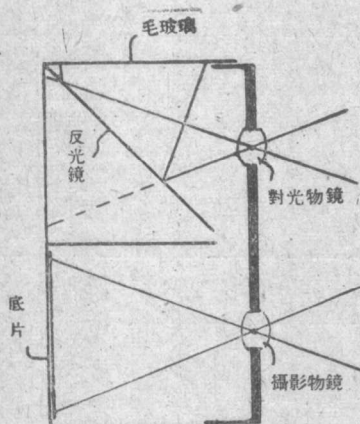


圖 2-11 a

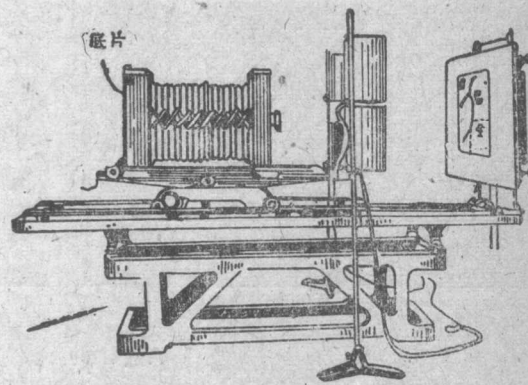


圖 2-12

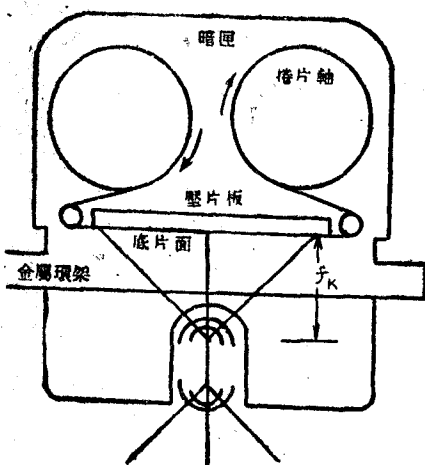


圖 2-13

航空攝影机处于工作状态时，自动定时曝光和卷移軟片。暗匣內所裝軟片有60米，可攝 18×18 厘米像片 300 張。

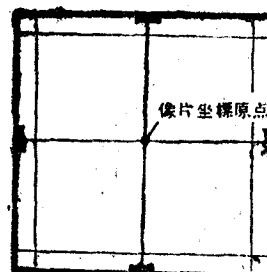


圖 2-14

在鏡箱本体上面裝有一貼附框，框上有標誌像片坐标的四个標記稱為框標（圖 2-14），在每張攝影像片上都得到框標的構像。相對框標連線的交點稱為像片坐标的原點。同時在航攝像片的邊緣還有一些附屬的記錄攝影，如圓準氣泡，時表，負片號碼和檢查底片壓平度的四條直線等。

現代航空攝影机都是由指示器自動操縱。為了使航空攝影机的主光軸尽可能呈鉛垂位置和使攝影機旋轉以改正像片相对于航線的方向，以及防止飛機的震動對影像清晰的影响，攝影機安置在特別的座架上，座架由金屬環架和整平螺旋所組成，而整平螺絲配有橡皮或彈簧的減震器。

現在將蘇聯製造的兩種航空攝影机 АФА-ТЭ 和 АФА-33-20 所用的物鏡及其有關特徵列表如下：

攝影机	物 鏡	光圈 $\frac{a}{f}$	焦 距 (毫米)	像 幅 (厘 米)	像角 $2\beta^\circ$	分解力 綫/毫米	軟片長度 (米)	曝光間隔 (秒)
АФА-ТЭ	Ортонар	1/7	500	18×18	28	35—20	60	2—200
АФА-ТЭ	Тафа	1/6	350	18×18	40	35—28	60	2—200
АФА-ТЭ	露沙爾-Плазмат	1/6.8	200	18×18	65		60	2—200
АФА-ТЭ	露沙爾-33	1/6.3	100	18×18	104	36—12	60	2—200
АФА-ТЭ	露沙爾-29	1/6.3	70	18×18	122	36—12	60	2—200
АФА-ТЭ	P-2	1/8	55	18×18	130	36—13	60	2—200
АФА-33-20	Орион	1/6.3	200	300×300	92	32—6	60	4—60

S 2-3 航空攝影的种类及航空攝影过程

航空攝影分为豎直和傾斜兩类。豎直航空攝影应尽量使航攝机的主光軸保持在鉛垂

方向，但是由于飞机振动，航摄机的主光轴将偏离铅垂方向，但数值不大，一般 α 角很少超过 2° ，因此所得到的像片与水平像片相接近。

圖2-15, a表示理想垂直摄影条件下，即当 $\alpha=0$ 时航摄像片的位置和所摄地区的轮廓。

倾斜航空摄影是当航摄机主光轴偏离铅垂线的角度甚大时进行的，如圖2-15,b所示。

編制地形圖时，水平像片和倾斜像片均可利用；但是用倾斜像片进行航測工作，要比水平像片复杂得多。本来倾斜像片的优点在于增大航摄像片所摄的面积，随着宽角物鏡的制造

成功，倾斜摄影的上述优点已經不复存在了，目前編制地形圖，完全采用豎直航空摄影。

豎直航空摄影时，根据摄影的比例尺 $\frac{1}{m}$ ，航摄机的焦距 f ，像幅尺寸，規定的航向和旁向重叠度和摄影地区的范围，可以计算出应有的飞行高度，航綫間的間隔和所需要的像片張数等等，做出航攝技术計劃和編制摄影領航圖。

現在就一般情况簡述各种数据的确定方法。

(1) 航高的确定

为了計算所需的航高，要利用水平航摄像片比例尺公式（見第三章公式3-12）

$$\frac{1}{m} = \frac{f}{H}.$$

这里： f ——航摄机的主距；

m ——規定的摄影比例尺分母；

H ——飞机对于某一个水平面的航高。

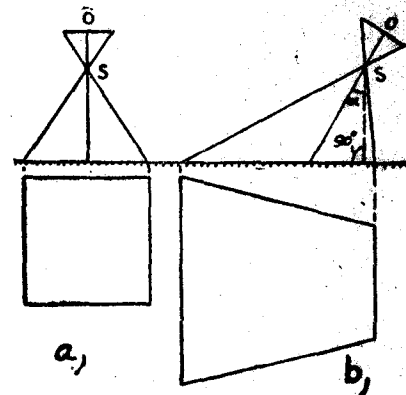


圖 2-15

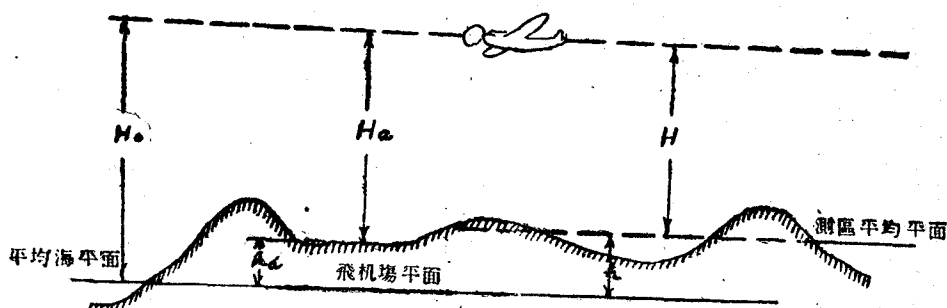


圖 2-16

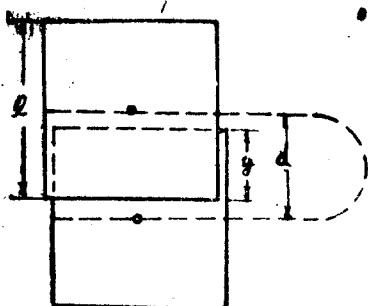


圖 2-17

根据这一公式可以求出对于通过摄影地区平均高程的水平面的航高 H 。这里航高是从摄影中心到地区平均高程水平面的铅垂距离。另外从投影中心到平均海水面的铅垂距离称为绝对航高 H_0 ，到飞机场的铅垂距离称为相对航高 H_a

(圖 2-16)。

例如：設 $f = 100$ 毫米， $\frac{1}{m} = 1/20000$ ，

則 $H = 2000$ 米。

(2) 航线间距的确定

用 y 表示所规定的旁向重叠(圖 2-17)，即相邻航线两排像片间的重叠，而用 l 表示像片的边长，于是航线间以像片比例尺计算的距离 d 则为：

$$d = l - y$$

因此，两航线间的实地距离为：

$$D = (l - y)m = l(1 - \frac{y}{l})m$$

如果旁向重叠以像片边长 l 的百分数表示，即 $\frac{y}{l} \cdot 100\% = q\%$ ，则

$$D = l(1 - q\%)m \quad (2-2)$$

式中 $q\%$ 是规定的旁向重叠，一般为30%。

当 $l = 18$ 厘米， $q\% = 30\%$ 和 $\frac{1}{m} = \frac{1}{20000}$ 时，根据公式(2-2)求得 $D = 2160$ 米。

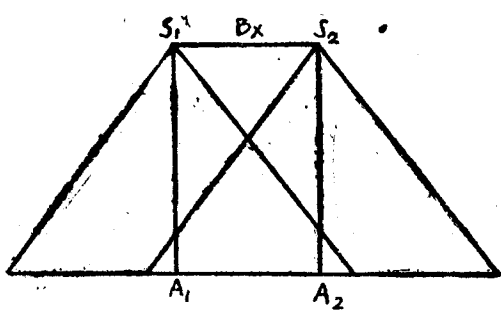


圖 2-18a

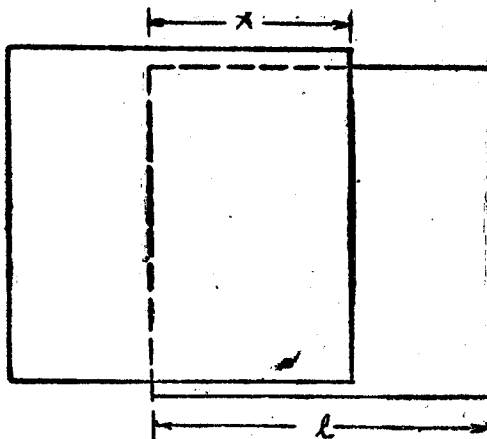


圖 2-18b

(3) 摄影基线的确定

摄影基线就是两个摄影站之间的距离(摄影间距)，由圖2-18可知，摄影基线为：

$$B_x = l \left(1 - \frac{x}{l}\right) m$$

上式括弧中后面一項用百分數表示，

$$\text{即 } \frac{x}{l} = p\%,$$

則得：

$$B_x = l(1 - p\%)m \quad (2-3)$$

式中 $p\%$ 是規定的航向重疊，一般為 60%。

如設像幅為 18×18 (厘米)²，

$$\frac{1}{m} = \frac{1}{40000},$$

則

$$B_x = 18 \times (1 - 60\%)40000 = 2880 \text{ 米}.$$

(4) 摄影時間間隔的確定

已知攝影基線 B_x 和飛機的航速 W ，則可按下式求得兩個攝影站之間的攝影時間間隔：

$$\tau = \frac{B_x}{W} \quad (2-4)$$

按照上例，如航速 $W = 100$ 米/秒，則 $\tau = B_x/W = 2880/100 = 28.8$ 秒，也就是在上述情況下，攝影機每隔 28.8 秒攝影一次，才能符合 60% 的象片重疊度。

(5) 曝光時間的確定

確定曝光時間須考慮到飛機的航速 (W) 和攝影比例尺 $(\frac{1}{m})$ 等因素。我們知道在曝光瞬間，由於飛機的移位，點的構像將不再是一個點，而成為一條線 (δ)，使構像模糊，只有當這條模糊線 δ 的長度不超過 0.1 毫米時才認為是清晰的。依據上列因素可用下式確定曝光時間：

$$t = \frac{\delta m}{W} \quad (2-5)$$

式中 t 為曝光時間，設 $\frac{1}{m} = \frac{1}{40000}$ 和 $W = 360$ 公里/時，則當 $\delta = 0.1$ 毫米的條件下，

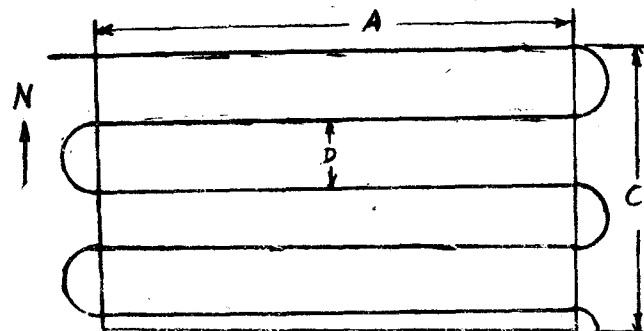


圖 2-19